

# **Bi8920 Pokročilé mikroskopické techniky**

## Princip fluorescence

doc. RNDr. Jakub Neradil, Ph.D.  
Ústav experimentální biologie PřF MU



## Program přednášky:

- definice a princip fluorescence
- fluorochromy

# „Viditelné“ světlo

elektromagnetické vlnění o vlnové délce 400-700 nm

elementární částice = foton - představuje kvantum el.mag. energie  
duální povaha - vlnová i částicová (dle metody studia)

vlnová délka ( $\lambda$ ) – délka jednoho kmitu (400-700 nm)

frekvence (f) – počet kmitů za sekundu ( $4-8 \cdot 10^{14} \text{ s}^{-1}$  [Hz])

rychlosť světla (c) = konstantní ve vakuu ( $300.000 \text{ km} \cdot \text{s}^{-1}$ )

platí vztahy:

$$c = \lambda * f \quad f = c / \lambda$$

$$E = h * f \quad E = h * c / \lambda$$

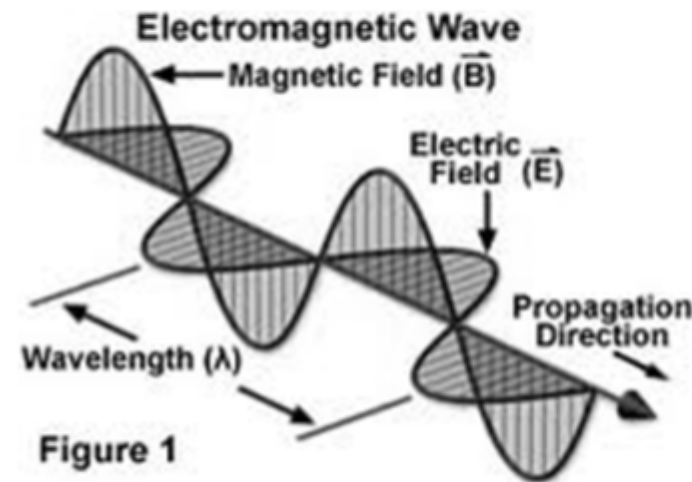
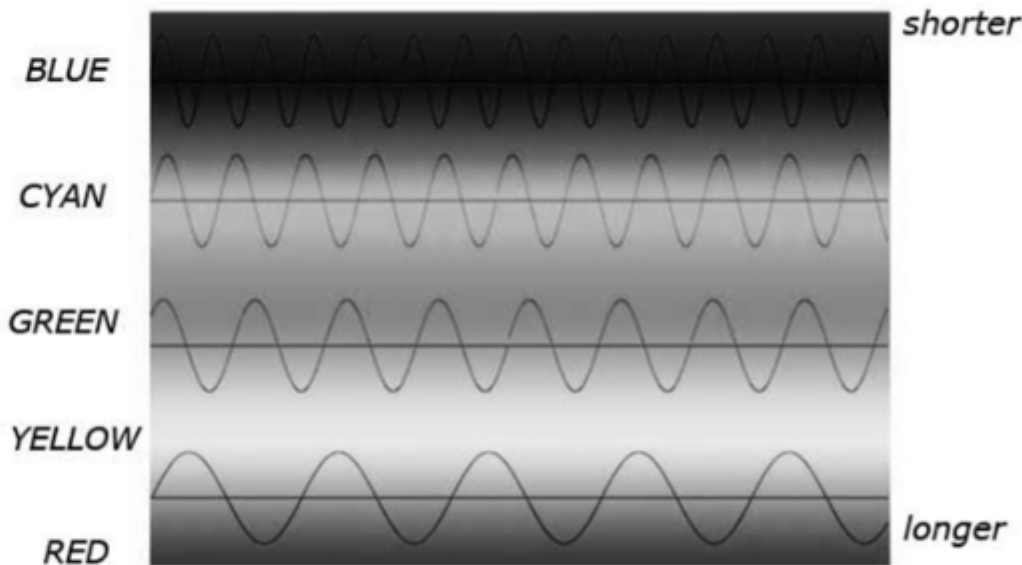
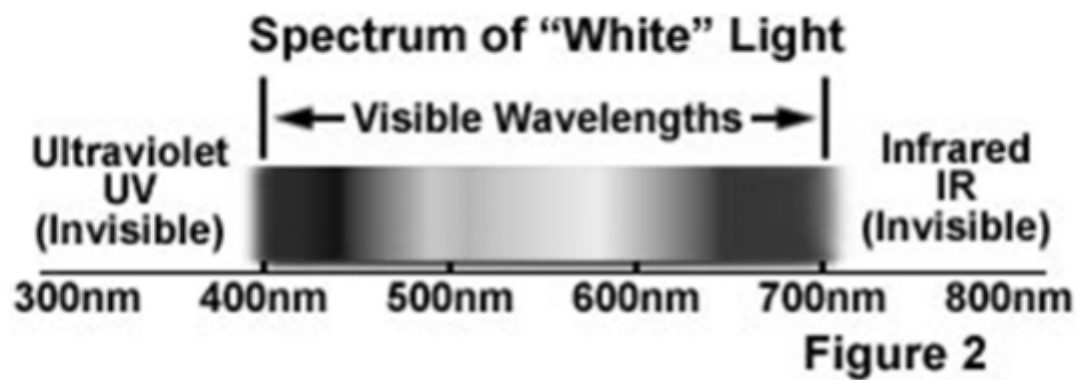


Figure 1

$$\text{Planckova konstanta } h = 6,626 \cdot 10^{-34} \text{ J} \cdot \text{s}$$

## vlnová délka ~ barva světla



<http://olympus.magnet.fsu.edu/primer/java/wavebasics/index.html>

**480 THz**

**635 nm**

**510 THz**

**590 nm**

**540 THz**

**560 nm**

**610 THz**

**490 nm**

**670 THz**

**450 nm**

**750 THz**

**400 nm**

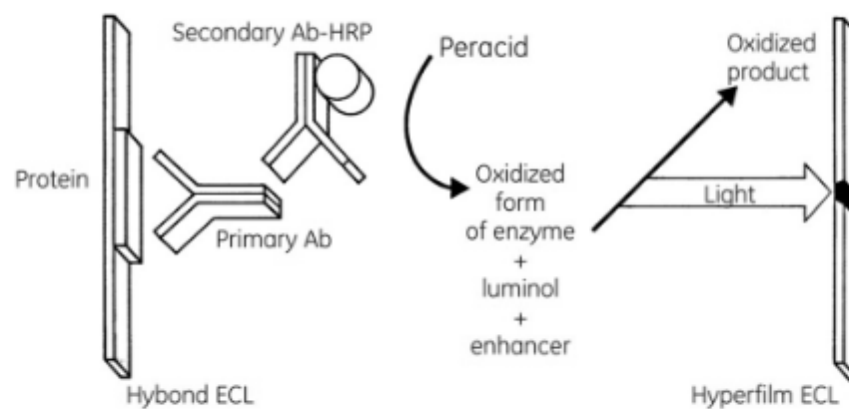


# LUMINISCENCE

jev při kterém vysílá látka do prostoru světlo

dělení dle indukce

– chemiluminiscence : vyvoláno chemickou reakcí  
např. oxidace luciferinu luciferázou u světlůšky, ECL detekční činidlo

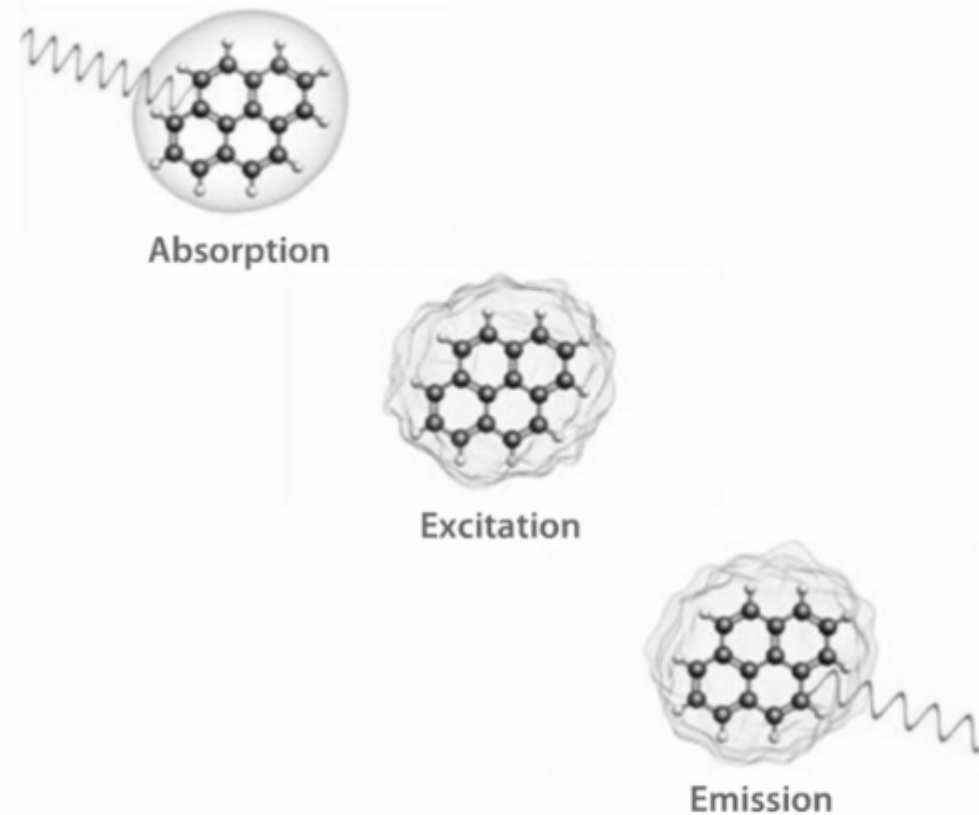


## -Fotoluminiscence

záření je vyvoláno jiným zářením

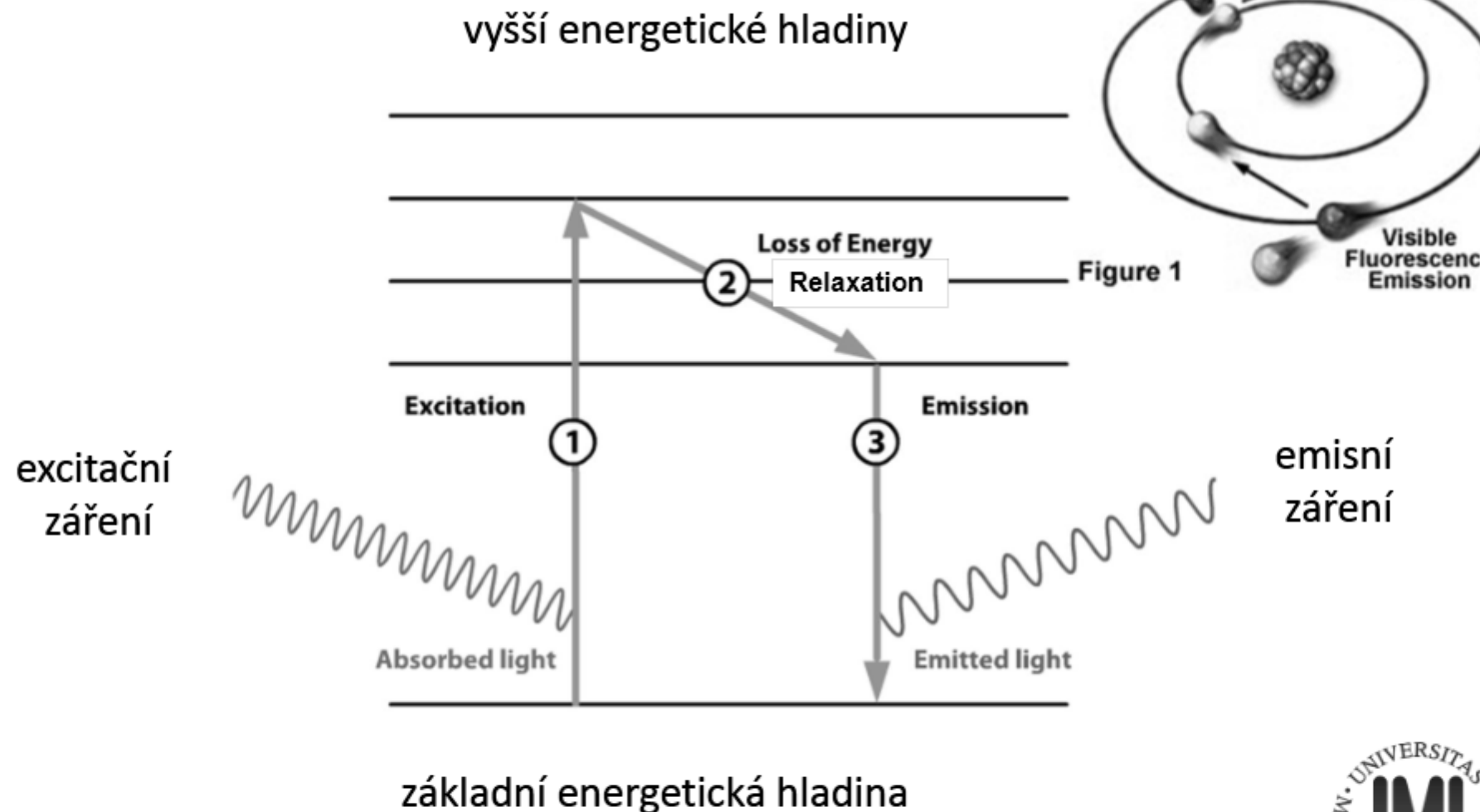
- a) fluorescence
- b) fosforecence

fluorochrom =  
fluorofor  
látka schopná  
fluorescence  
excitační záření  
luminiscenci vyvolává  
emisní záření  
vysílané látkou



# Podstata fluorescence Jablonskiho diagram

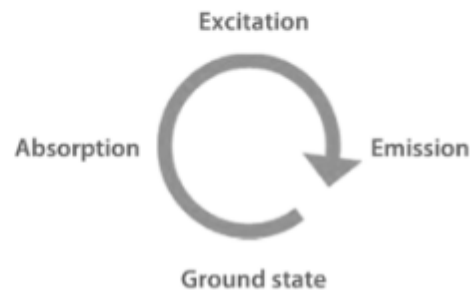
<http://olympus.magnet.fsu.edu/primer/java/fluorescence/exciteemit/index.html>



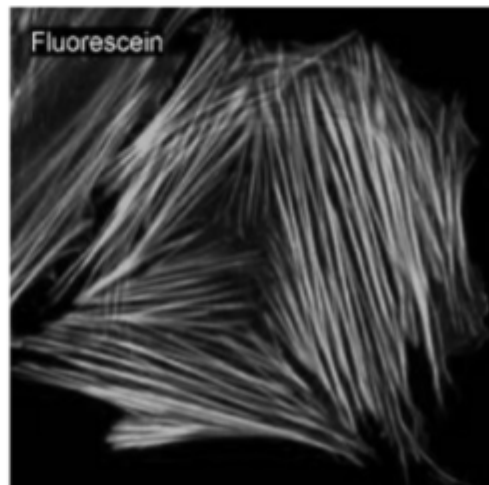
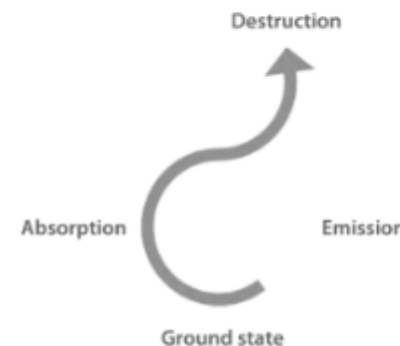
## Průběh fluorescence

1. excitace elektronů fotony ze základní energetické hladiny do excitovaného stavu  
trvání  $10^{-15}$  s
2. excitovaný stav  
pokles na nejnižší hladinu excitace (relaxace)  
ztráta energie ve formě tepla  
trvání  $10^{-14} - 10^{-11}$  s
3. emise světla => fluorescence  
trvání  $10^{-7} - 10^{-9}$  s = doba dohasínání

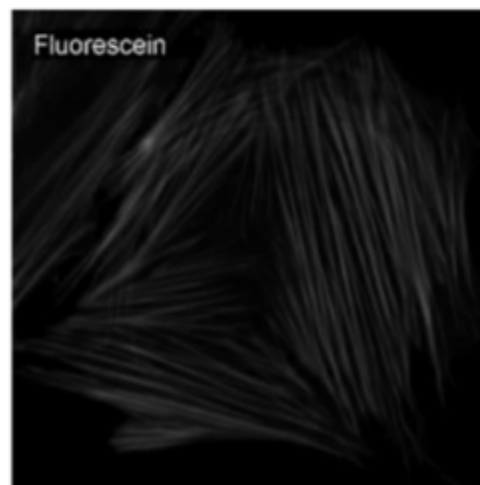
# recyklace



# photobleaching



Before



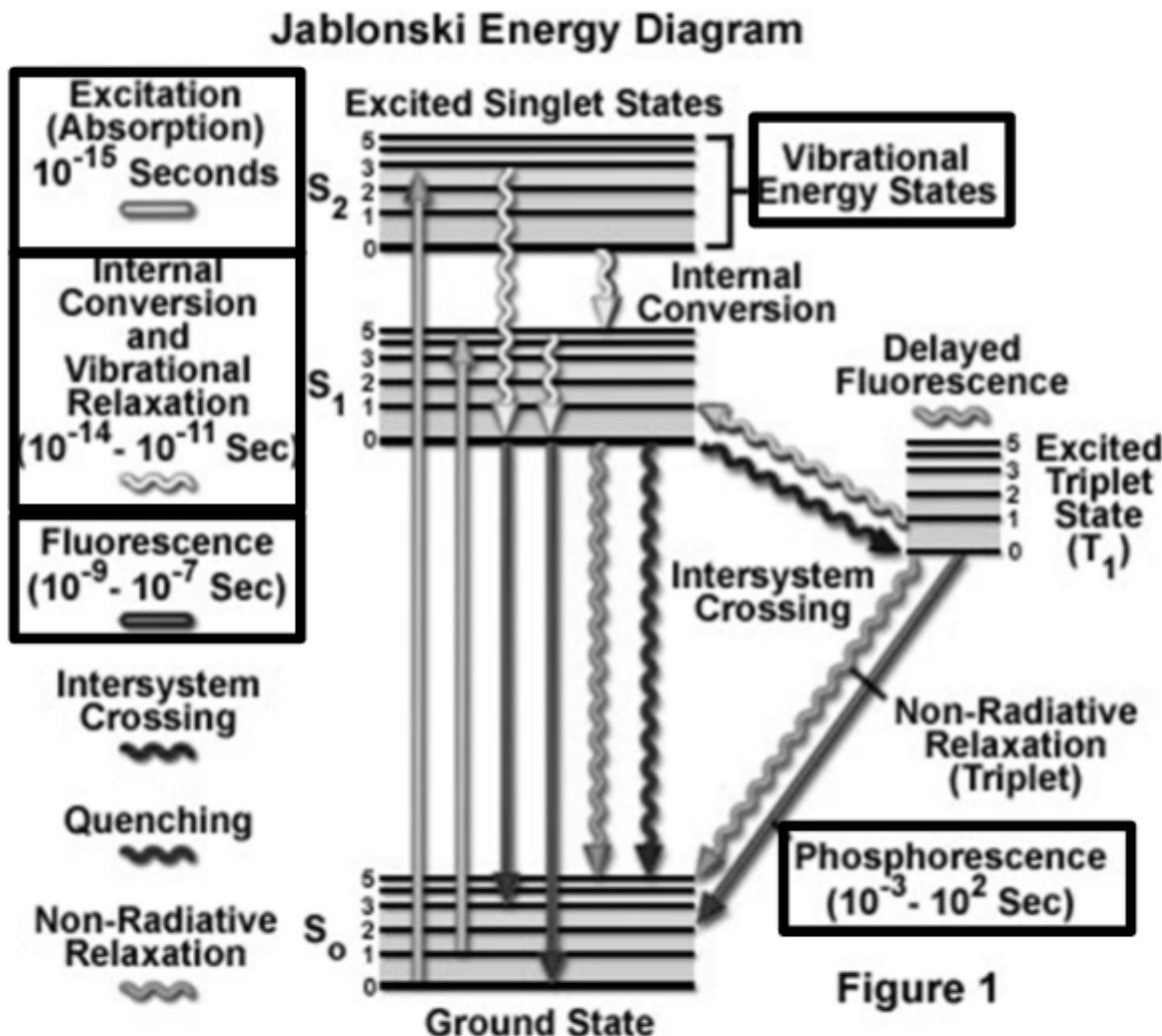
Photobleaching 13 sec

<http://olympus.magnet.fsu.edu/primer/java/fluorescence/photobleaching/index.html>

## Princip fluorescence

<http://media.invitrogen.com.edgesuite.net/tutorials/1Intro/player.html>

# Podstata fluorescence a fosforescence Jablonského diagram



Alexander Jablonski  
(1898-1980)

fosforescence  
doba dohasínání  
 $10^{-3} - 10^2$  s



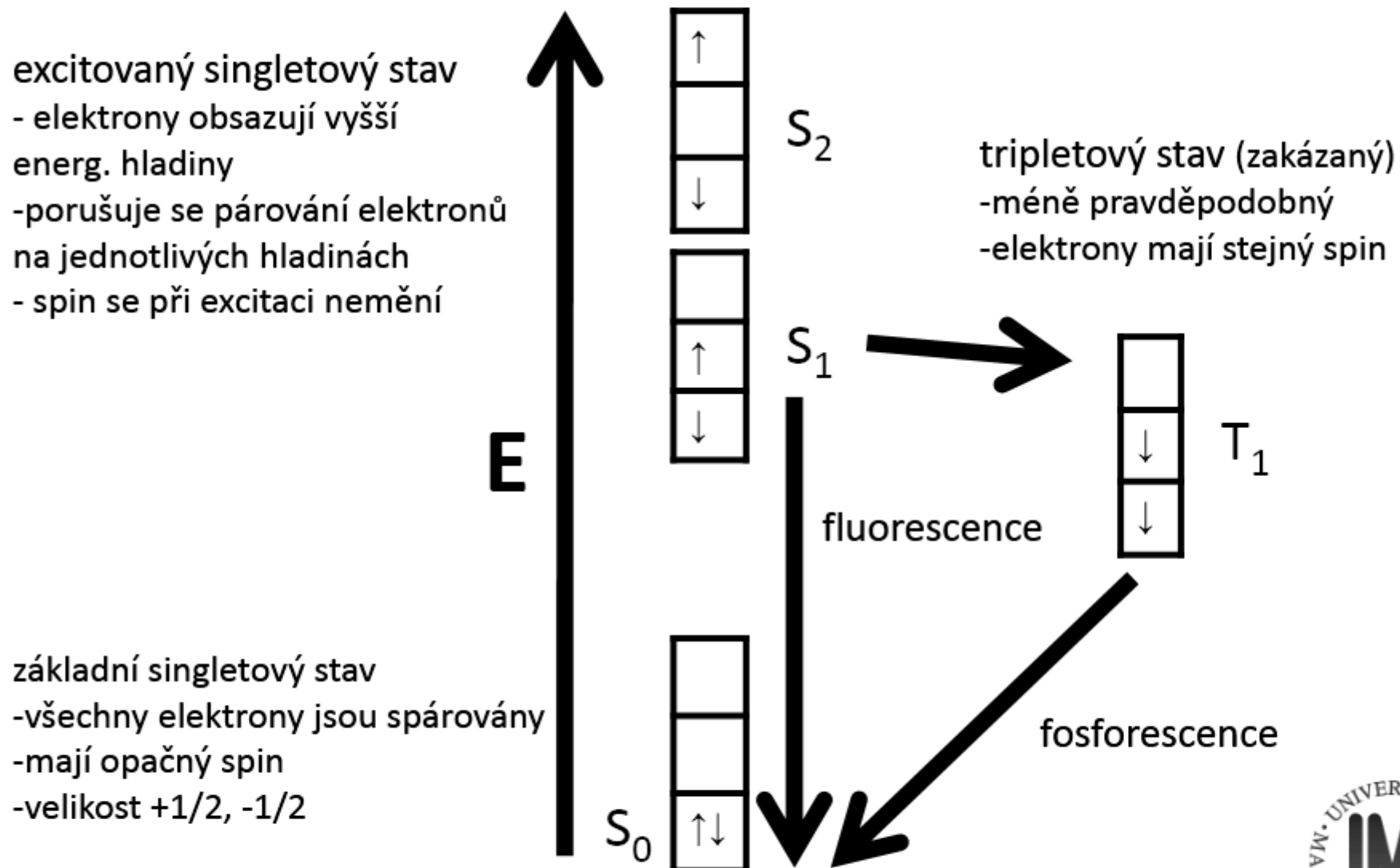
## Jablonského diagram- zjednodušený

<http://olympus.magnet.fsu.edu/primer/java/jablonski/lightandcolor/index.html>

## Jablonského diagram

<http://olympus.magnet.fsu.edu/primer/java/jabintro/index.html>

**Spin** je kvantová vlastnost elementárních částic - vnitřní moment hybnosti částice.  
Spiny částic přispívají k celkovému momentu hybnosti soustavy.



# Stokesův posun

- Vlnová délka excitujícího světla je menší než emitovaného ( $\lambda_{ex} < \lambda_{em}$ )
- Energie excitujícího světla je větší než emitovaného ( $E_{ex} > E_{em}$ )
- V rámci relaxace v excitovaných stavech dochází ke ztrátě energie

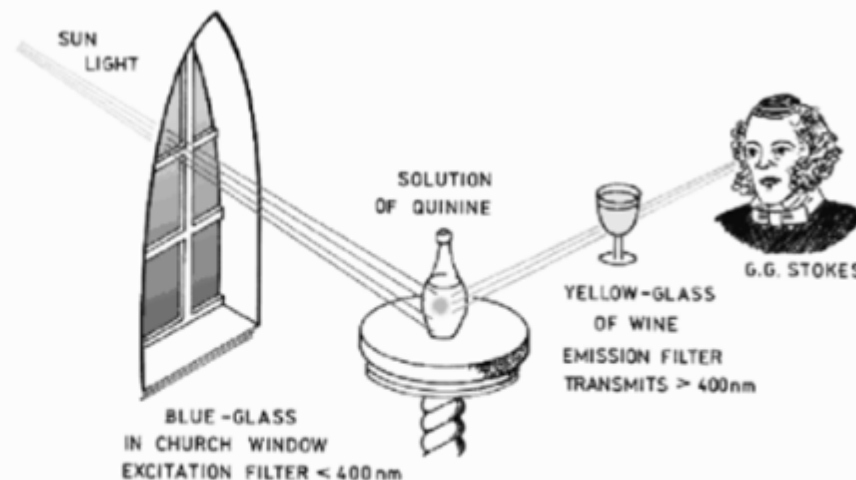
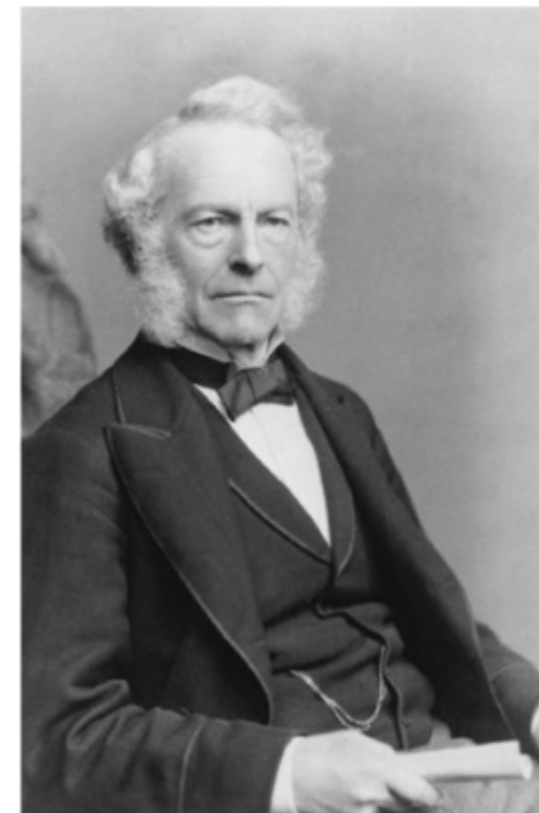


Figure 1.6. Experimental schematic for detection of the Stokes shift.



*On the Change of Refrangibility of Light. By G. G. Stokes, M.A., F.R.S., Fellow of Pembroke College, and Lucasian Professor of Mathematics in the University of Cambridge. Phil. Trans. Royal Society of London (1852) pp. 463-562.  
Received May 11, — Read May 27, 1852.*

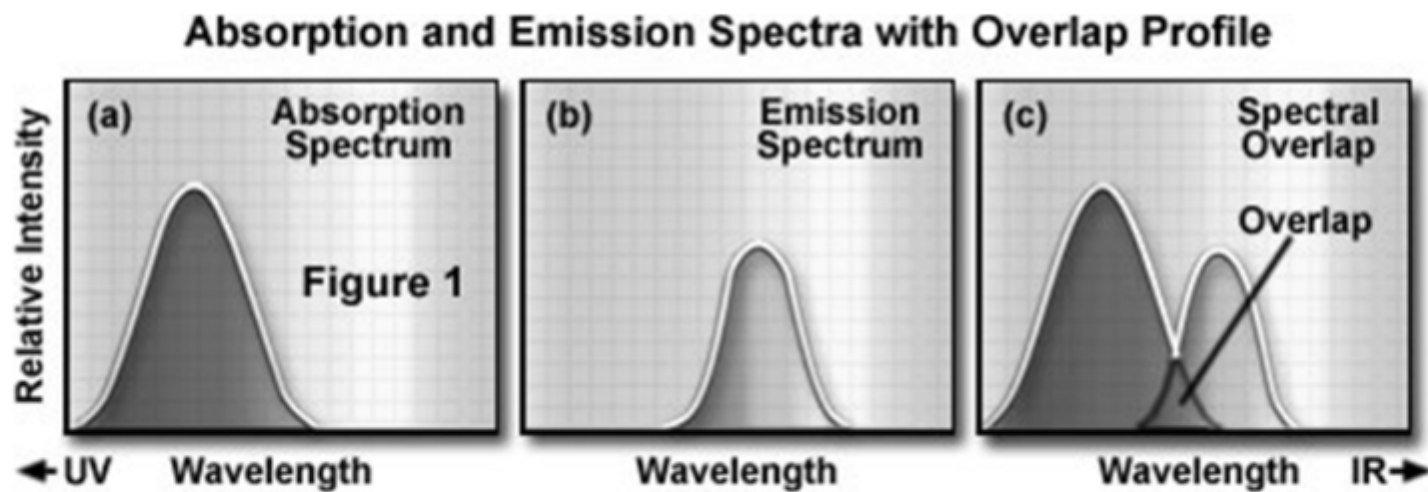


Sir G.G. Stokes

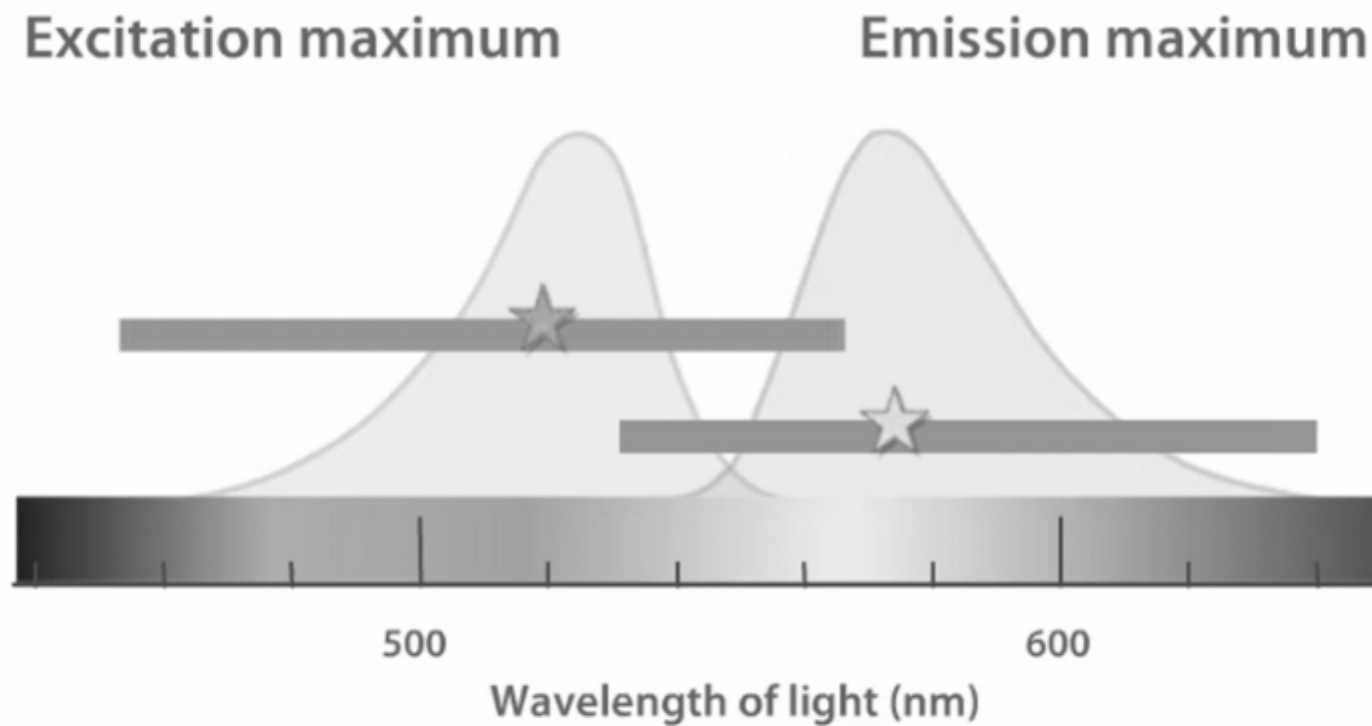


Absorbční (excitační) spektrum  
závislost intenzity fluorescence na excitační vlnové délce  
(měřeno při konstatní emisní vlnové délce)

Emisní spektrum  
závislost intenzity fluorescence na vlnové délce při  
konstantní vlnové délce excitace

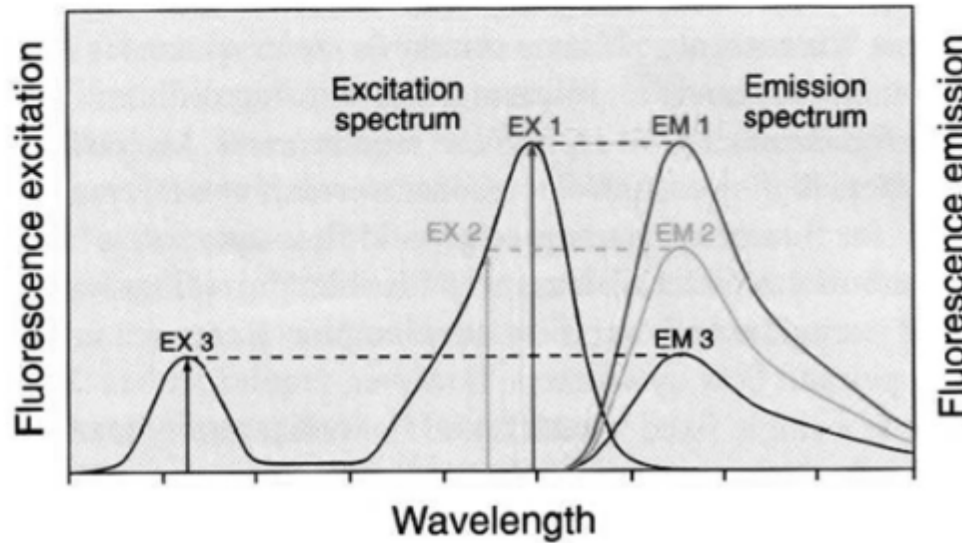


- obě spektra mají své maxima
- excitační maximum
- emisní maximum
- vzdálenost mezi nimi – Stokesův posun



## Emisní spektrum určitého fluorochromu

- je nezávislé na vlnové délce excitace
- emise z nejnižšího excitovaného stavu ( $S_1$ )
- mění se pouze intenzita fluorescence
- intenzita emisního spektra odpovídá amplitudě excitace



*Figure 2. Excitation of a fluorophore at three different wavelengths (EX 1, EX 2, EX 3) does not change the emission profile but does produce variations in fluorescence emission intensity (EM 1, EM 2, EM 3) that correspond to the amplitude of the excitation spectrum.*

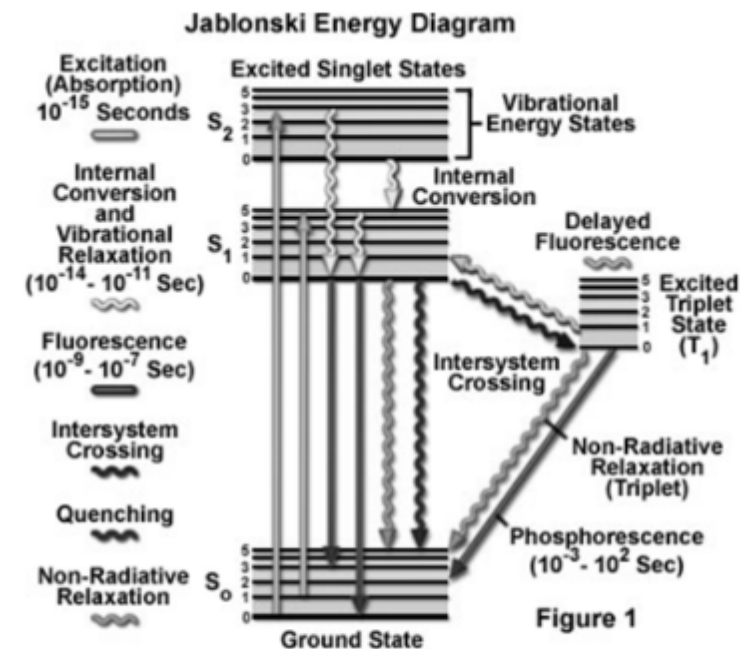
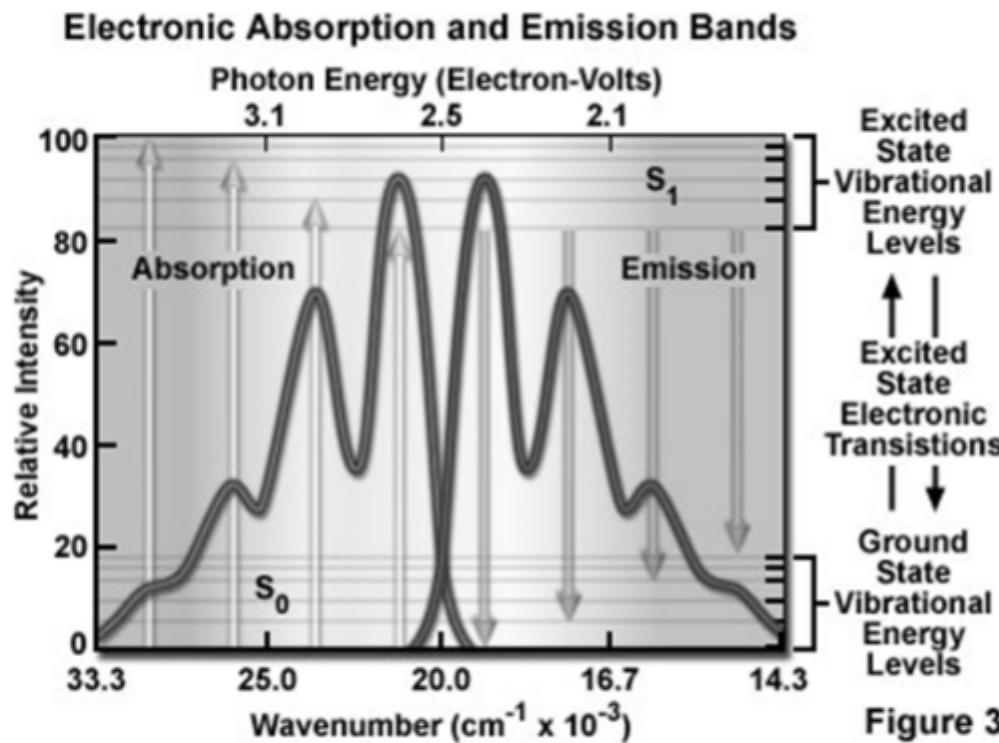


Figure 1

## Symetrie mezi absorpčním a emisním spektrem

- struktura vibračních hladin základního i excitovaných stavů je stejná
- absorpce (excitace) a emise do odpovídajících hladin nastává se stejnou pravděpodobností
- absorpční a emisní spektra zrcadlově symetrická



## Excitační a emisní spektrum

<http://media.invitrogen.com.edgesuite.net/tutorials/2Spectra/player.html>

## Molární extinkční koeficient (molární absorptivita)

- vyjadřuje míru schopnosti látky absorbovat světlo

Lambert-Beerův zákon

$$A = \epsilon \cdot c \cdot l$$

- A – absorbance (bez jednotek)
- $\epsilon$  – molární extinkční koeficient ( $\text{l} \cdot \text{mol}^{-1} \cdot \text{cm}^{-1}$ )
- c – molární koncentrace ( $\text{mol} \cdot \text{l}^{-1}$ )
- l – dráha (cm)

## Kvantový výtěžek fluorescence (Qantum Yield = QY)

$$QY = \frac{\text{počet emitovaných fotonů}}{\text{počet absorbovaných fotonů}}$$

- vyjadřuje míru schopnosti excitačního vlnění vyvolat fluorescenci
- maximálně = 1 (teoreticky; energetické ztráty)

# Standardy pro určení kvantového výtěžku fluorescence

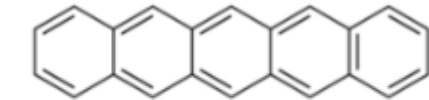
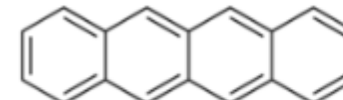
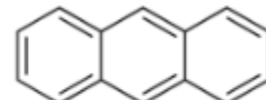
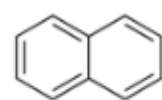
Quantum Yield [Q.Y.] Standards	Q.Y. [%]	Conditions for Q.Y. Measurement	Excitation [nm]
Cy3	4	PBS	540
Cy5	27	PBS	620
Cresyl Violet	53	Methanol	580
Fluorescein	95	0.1 M NaOH, 22°C	496
POPOP	97	Cyclohexane	300
Quinine Sulfate	58	0.1 M H <sub>2</sub> SO <sub>4</sub> , 22°C	350
Rhodamine 101	100	Ethanol	450
Rhodamine 6G	95	Water	488
Rhodamine B	31	Water	514
Tryptophan	13	Water, 20°C	280
L-Tyrosine	14	Water	275

## **fluorochrom = fluorofor**

**látka schopná fluorescence**

- často obsahuje polycyklické nenasycené sloučeniny a atomy (s více elektrony – např. P, S)
- čím více benzenových jader, tím více roste absorpní maximum

benzen	naftalen	antracen	tetracen	pentacen
262 nm	272 nm	375nm	475nm	580nm



# Skupiny fluoroforů

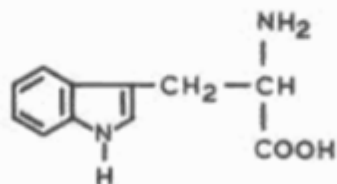
## Vlastní (vnitřní) fluorescence látek

Přirozeně se vyskytující fluorofory  
aminokyseliny, kofaktory enzymů, chlorofyl,  
green fluorescent protein..

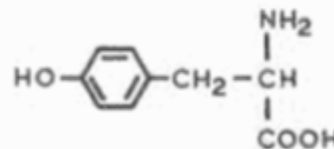
## Nevlastní (vnější) fluorescence látek

- Přímá vazba fluorochromu na molekuly nebo buněčné struktury
- použití sondy  
DNA, buněčná stěna, plazmatická membrána... mitochondriální aktivita - respirační vzplanutí, pH indikátory, membránový potenciál..
- Nepřímá vazba fluorochromu
- použití značky  
navázání na imunoglobulin (protilátku) nebo úsek nukleové kyseliny, phalloidin, annexin V...

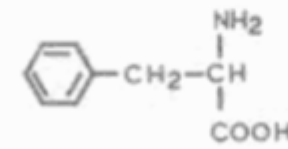
## Přirozeně se vyskytující fluorofory - aminokyseliny



Tryptophan



Tyrosine



Phenylalanine

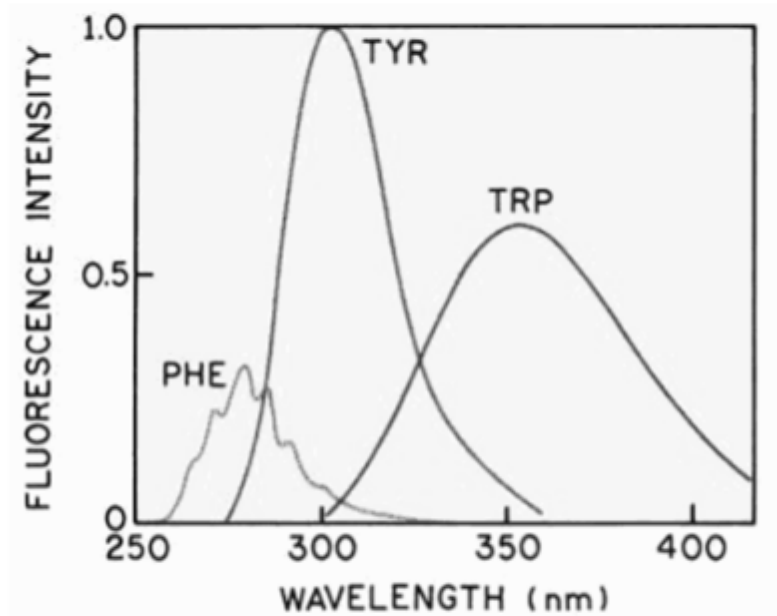
hlavní zdroj fluorescence proteinů v UV spektru

-indolová skupina Trp

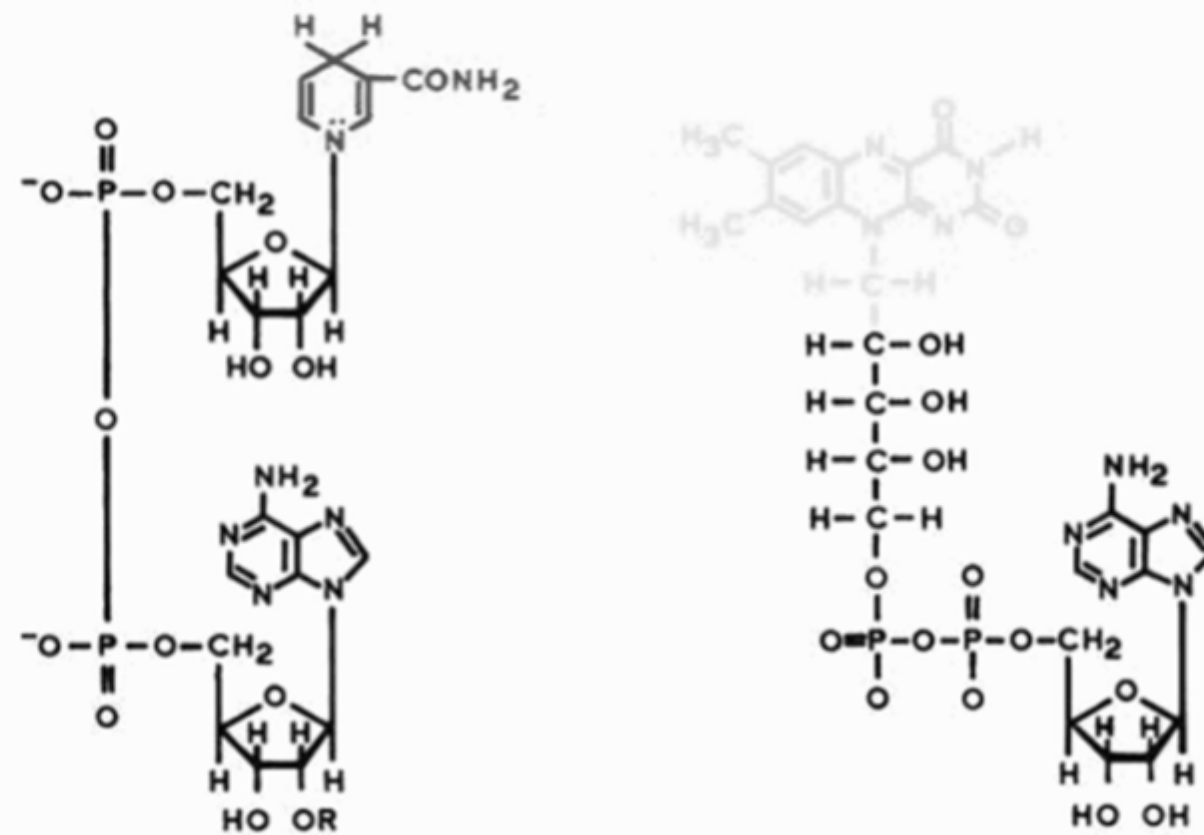
Trp v sekvencích jen 1%  
metabolicky náročná syntéza

Table 2: fluorescent properties of some amino acids

amino acid	Lifetime (Nanoseconds)	Excitation		Emission	
		Wavelength	Molar absorptivity	Wavelength	Quantum yield
Tryptophan	2.6	280	5,600	348	0.20
Tyrosine	3.6	274	1,400	303	0.14
Phenylalanine	6.4	257	200	282	0.04



## Přirozeně se vyskytující fluorofory - kofaktory

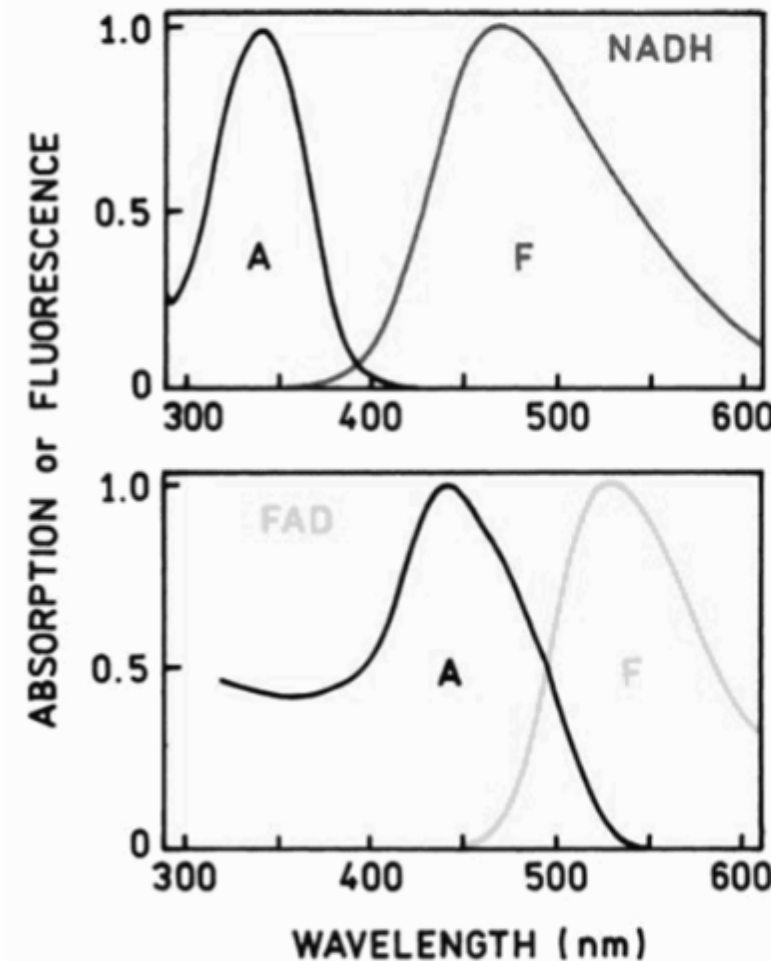
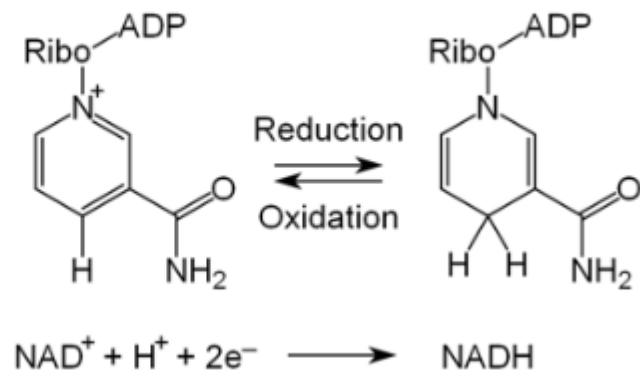


Nikotinamid adenin  
dinukleotid (NADH)

Flavin adenin  
dinukleotid (FAD)

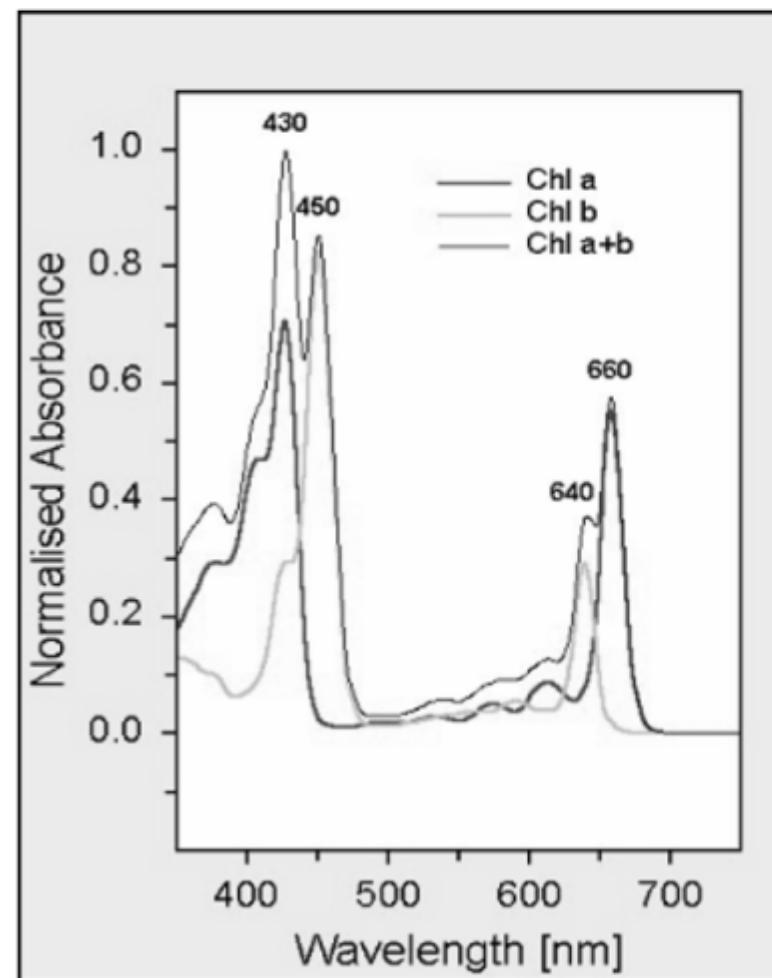
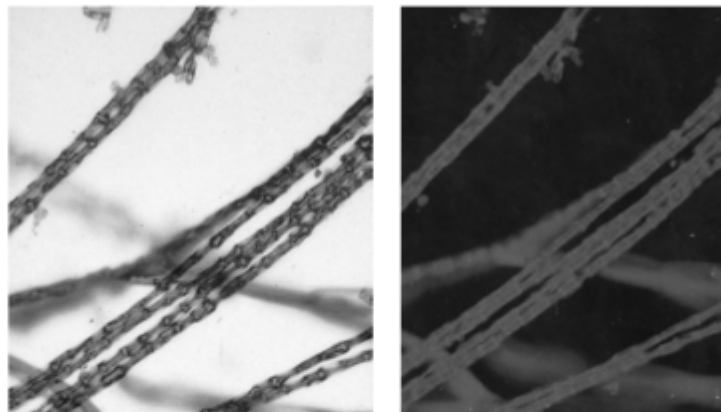
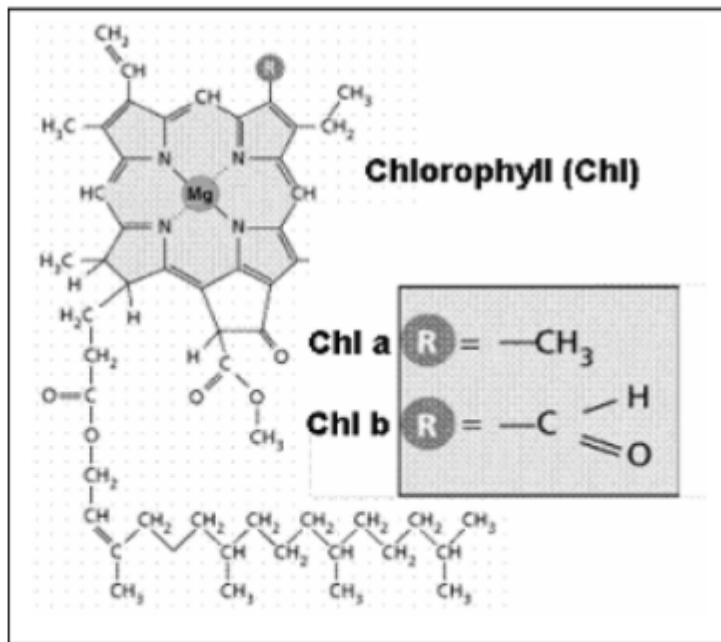
## Přirozeně se vyskytující fluorofory - kofaktory

- NAD<sup>+</sup> není fluorescenční
- fluorochrom = redukovaný nikotinamidový ring



## Přirozeně se vyskytující fluorofory – chlorofyl

- porfyrinové jádro + Mg

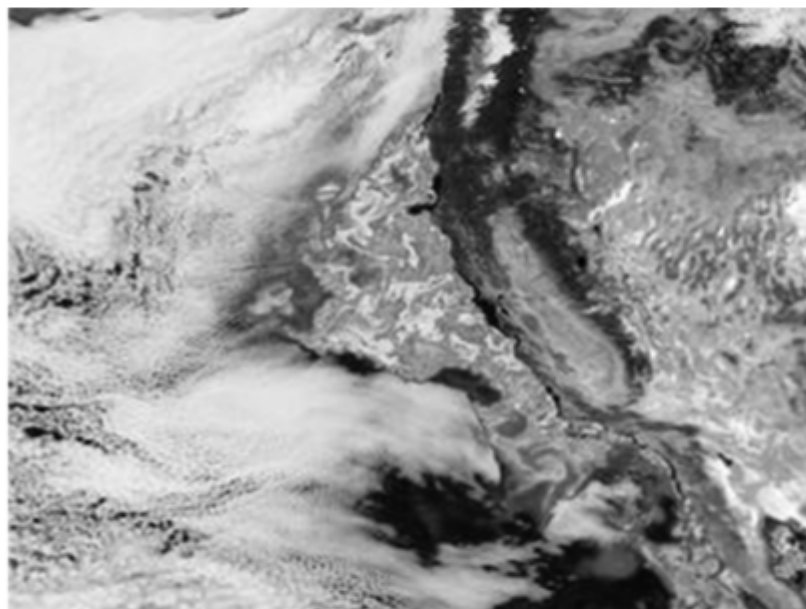
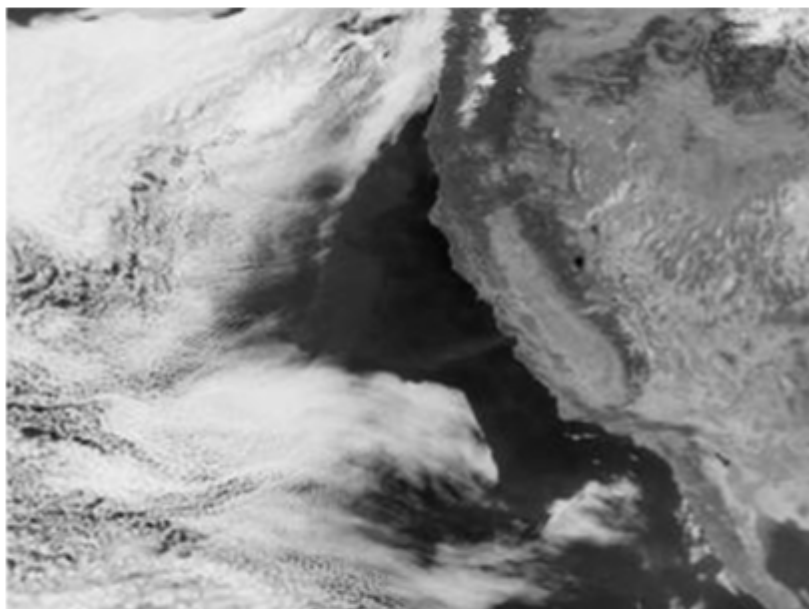
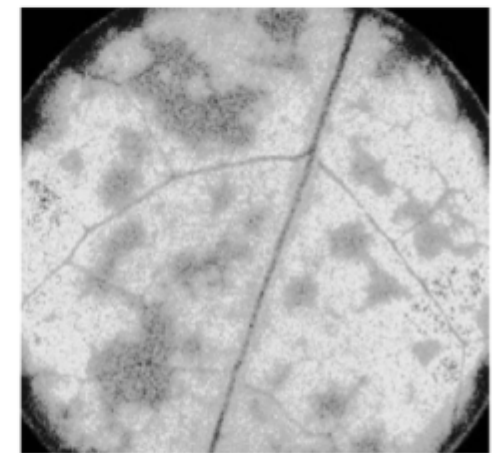


Stokesův posun až 200nm

## Přirozeně se vyskytující fluorofory – chlorofyl

využití:

- hodnocení výskytu fytoplanktonu ve vodě
- studium fotosyntézy
- fyziologický stav rostlin - stres



## Nevlastní (vnější) fluorescence

### Nepřímá vazba fluorochromu – ZNAČKY

značky jsou vázány k molekulám (proteiny, peptidy, oligonukleotidy..) kovalentní vazbou

proteiny – vazba na aminové ( $\text{NH}_2$ -), thiolové (SH-) skupiny nebo histidinové řetězce

požadavky

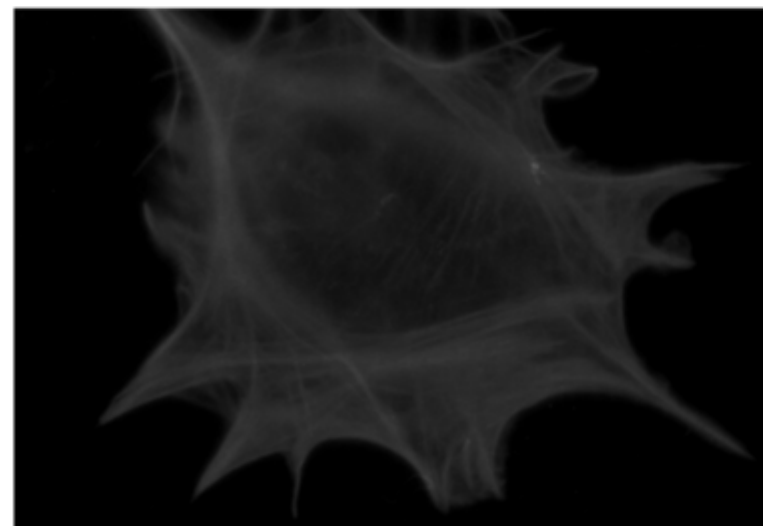
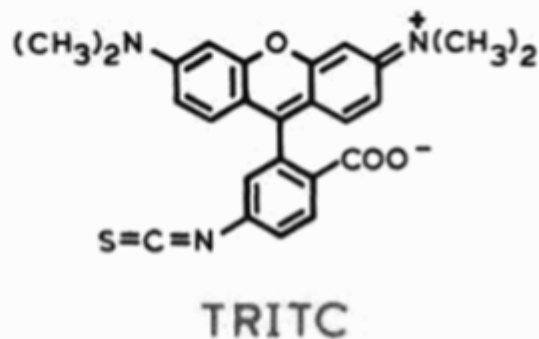
- vysoká intenzita fluorescence
- stabilita při ozařování
- minimální vliv na biologické vlastnosti vzorku

# Rhodaminy

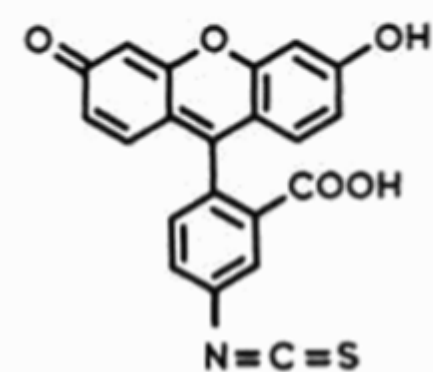
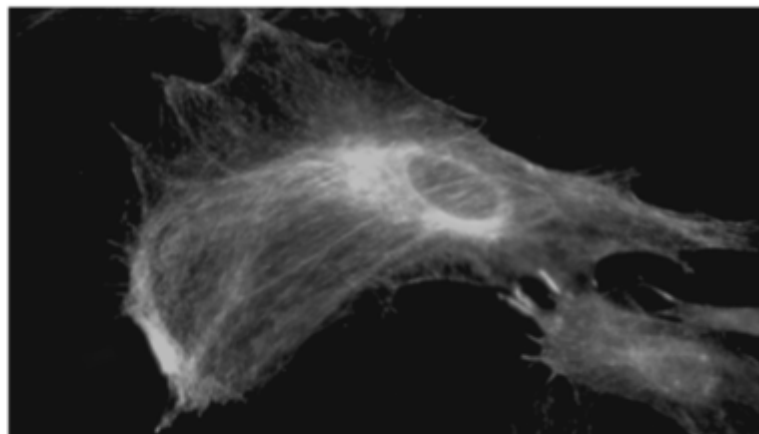
- historicky nejpoužívanější fluorescenční značky
- převážně na protilátky
- ve formě derivátů
- vysoký kvantový výtěžek 0,3-0,8
- photobleaching

tetramethylrhodamine isothiocyanate (TRITC)

ex. – 541nm, em. – 572nm



Fluorescein isothiocyanate (FITC)  
ex. - 495 nm, em. - 521 nm



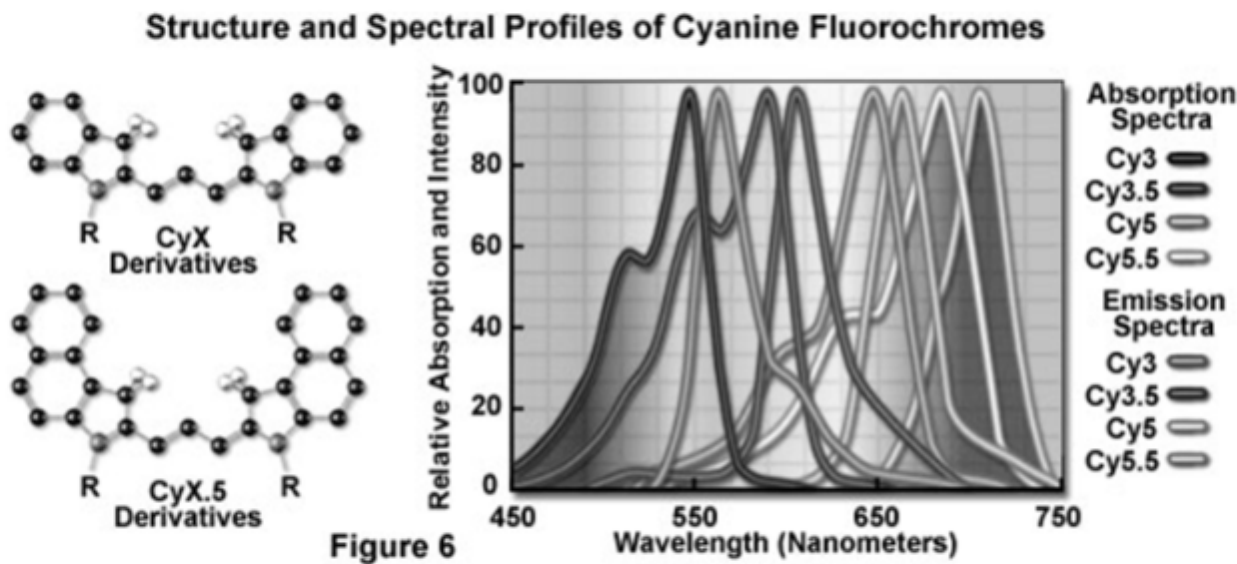
FITC



Chicago river  
St. Patrick's Day  
fluorescein

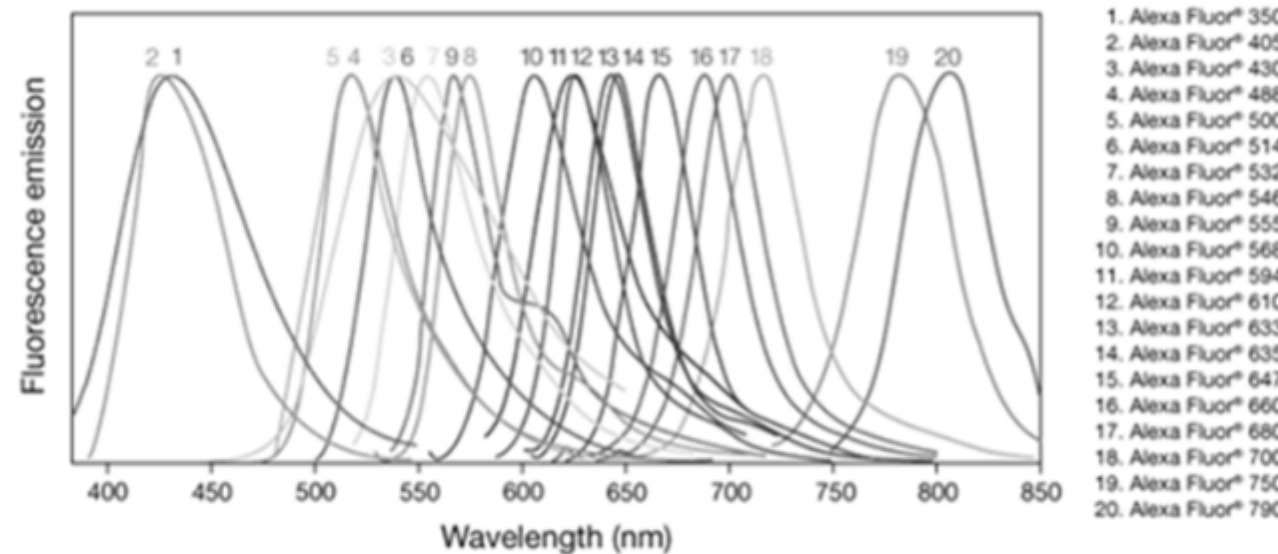
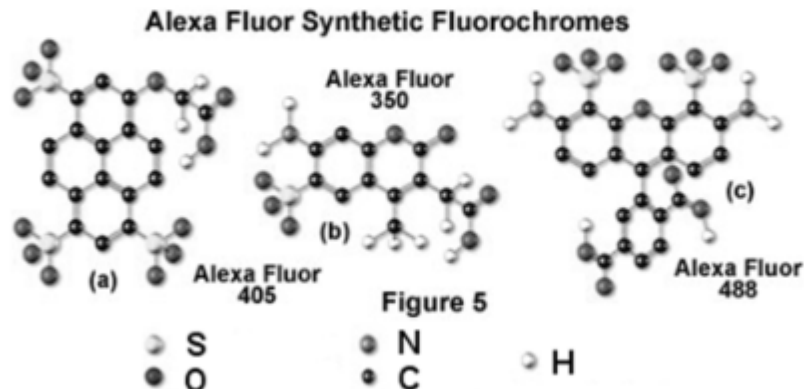
## Cy značky (Cyanine dyes)

- zástupci Cy2, Cy3, Cy3.5, Cy5, Cy5.5, Cy7
- částečně nasycené heterocykly + další aromatická jádra
- ex. a em. spektra podobná klasickým fluoroforům
- kratší Stokesův posun (~30nm)
- fotostabilní
- vyšší kvantový výtěžek



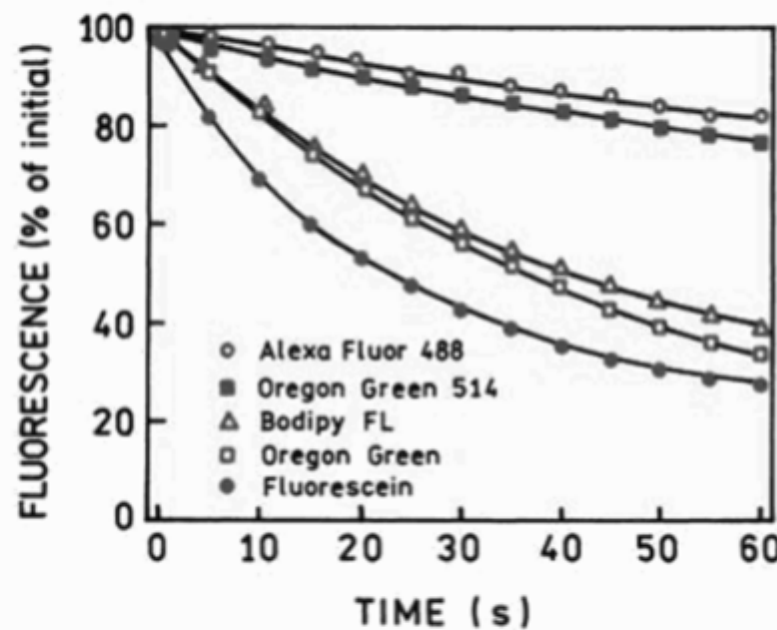
## Alexa Fluor Dyes (Molecular Probes)

- sulfonovaný derivát rhodaminu
- vyšší kvantový výtěžek ~ svítivost
- zesílená fotostabilita ( $\downarrow$  photobleaching)
- pH stabilita
- dlouhodobě stabilní
- využití – živé buňky, tkáňové řezy, fixované preparáty
- velký výběr rozsahu ex. a em. maxim
- od UV po near-infrared oblast
- označení podle vlnové délky zdroje excitačního záření



## Fotostabilita fluorochromů

- každý fluorofor podléhá vysvícení v průběhu souvislého osvětlení
- ve FM silná intenzita dopadajícího záření
- nejstabilnější – značky Alexa
- není znám princip předpovědi stability dle struktury



# Quantum dots

- fluorofory (značky) = po absorpci fotonů emitují světlo o větší vlnové délce
- anorganické nanokrystaly
- velikost 10-20nm (GFP 4,2 x 2,4 nm)

složení:

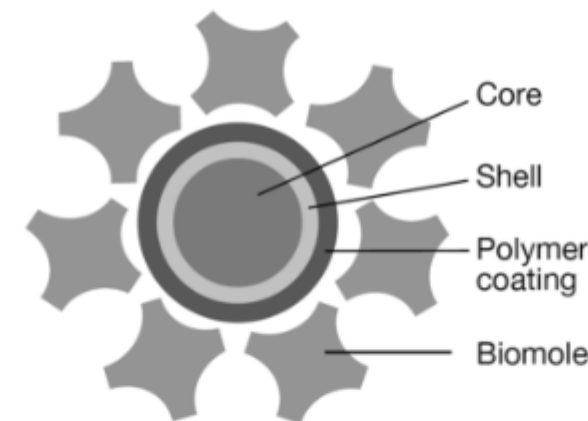
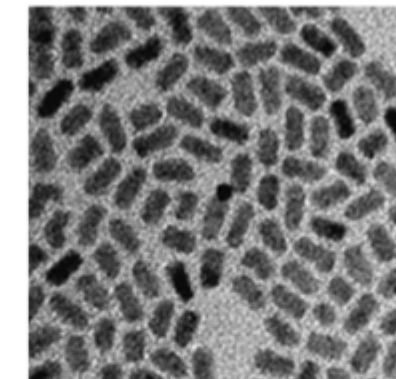
jádro: několik 100x-1000x molekul

polovodičového materiálu (Cd, Se, Te)

obal: polovodič (ZnS), stabilizuje jádro,  
zlepšuje optické a fyzikální vlastnosti

plášt: amfifilní polymer, umožňuje vazbu  
dalších molekul

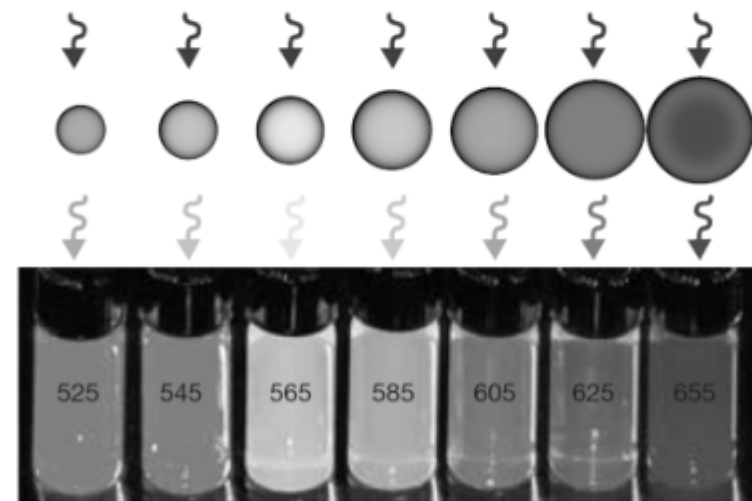
vnější plášt: polyethylene glycol (PEG) –  
snižuje nespecifickou vazbu



# Quantum dots

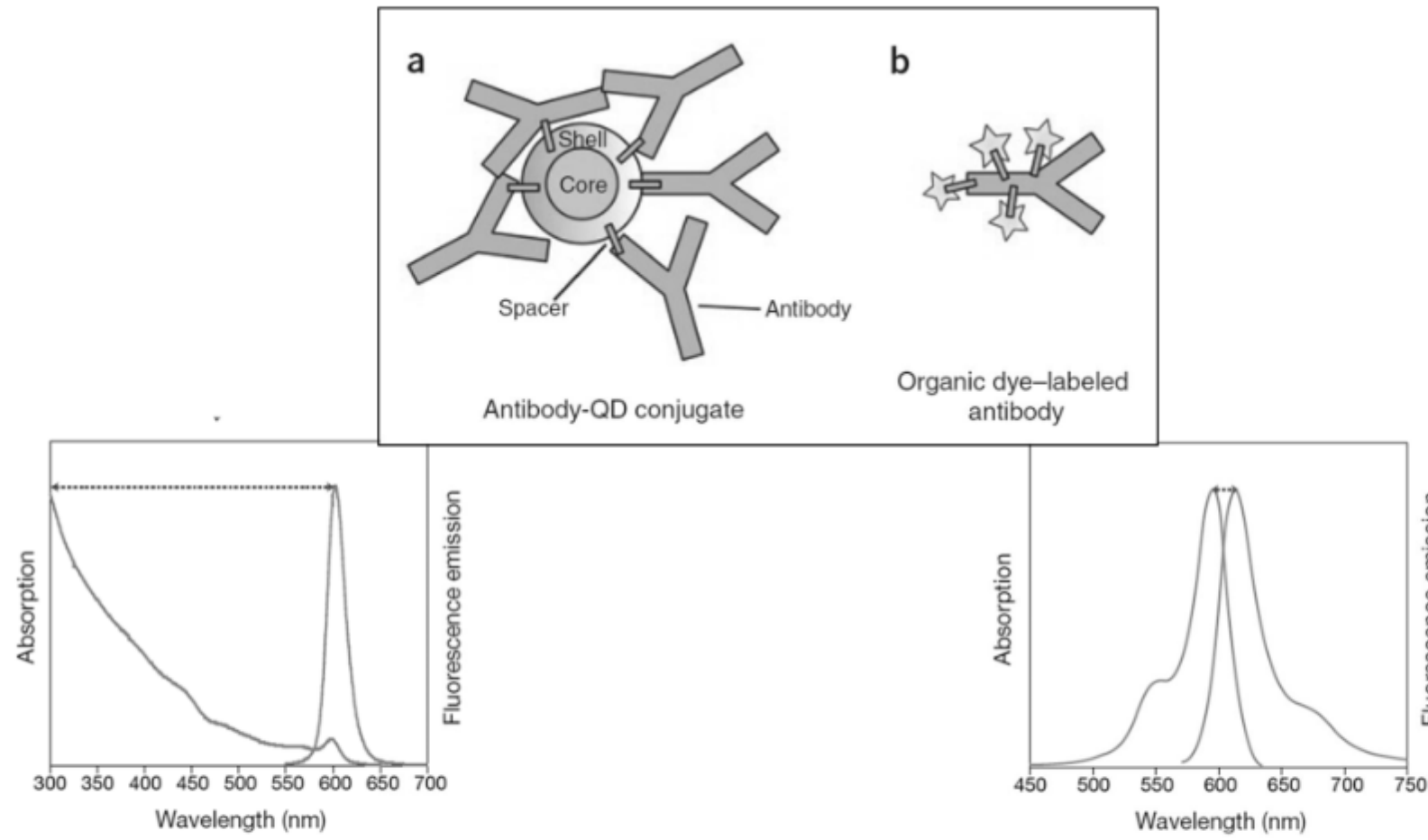
Vlastnosti:

- vlnová délka emise závisí na velikosti částice
- umožňují vícebarevnou detekci jedním excitačním zdrojem
- možnost konjugace s primárními i sekundárními protilátkami nebo streptavidinem
- více molekul IgG na jednu částici
- vyšší jas než klasické fluorofory
- násobně vyšší stabilita
- velký Stokesův shift



# Quantum dots

- vazba na protilátku – srovnání s „klasickým“ konjugátem



## Nevlastní (vnější) fluorescence

Přímá vazba fluorochromu na molekuly nebo buněčné struktury – SONDY

- ke struktuře se váží nekovalentně
- po vazbě často mění fluorescenční vlastnosti
- zesílení fluorescence

nějčastější použití

- buněčné membrány
- nukleové kyseliny
- buněčná stěna (calcofluor, primulin)
- Fluorescenční indikátory  
změna fluorescence (spektra nebo intenzity) v závislosti na určité látce – prvek, pH, ROS...

# Mebránové fluorescenční sondy

- membrány nejsou samy o sobě fluorescenční
- vazba sond na nepolární uhlovodíkové řetězce MK
- studium
  - transportu přes membránu
  - transport lipidů v buňkách
  - přenos signálů zprostředkovaný lipidy
  - interakce léčiv s membránou
- rozdělení
  - a) fluorescenční analogy přirozených lipidů
  - a) malé amfifilní a lipofilní organické fluorofory

# Mebránové fluorescenční sondy

Příklady a umístění fluorescenčních lipidových sond v membráně



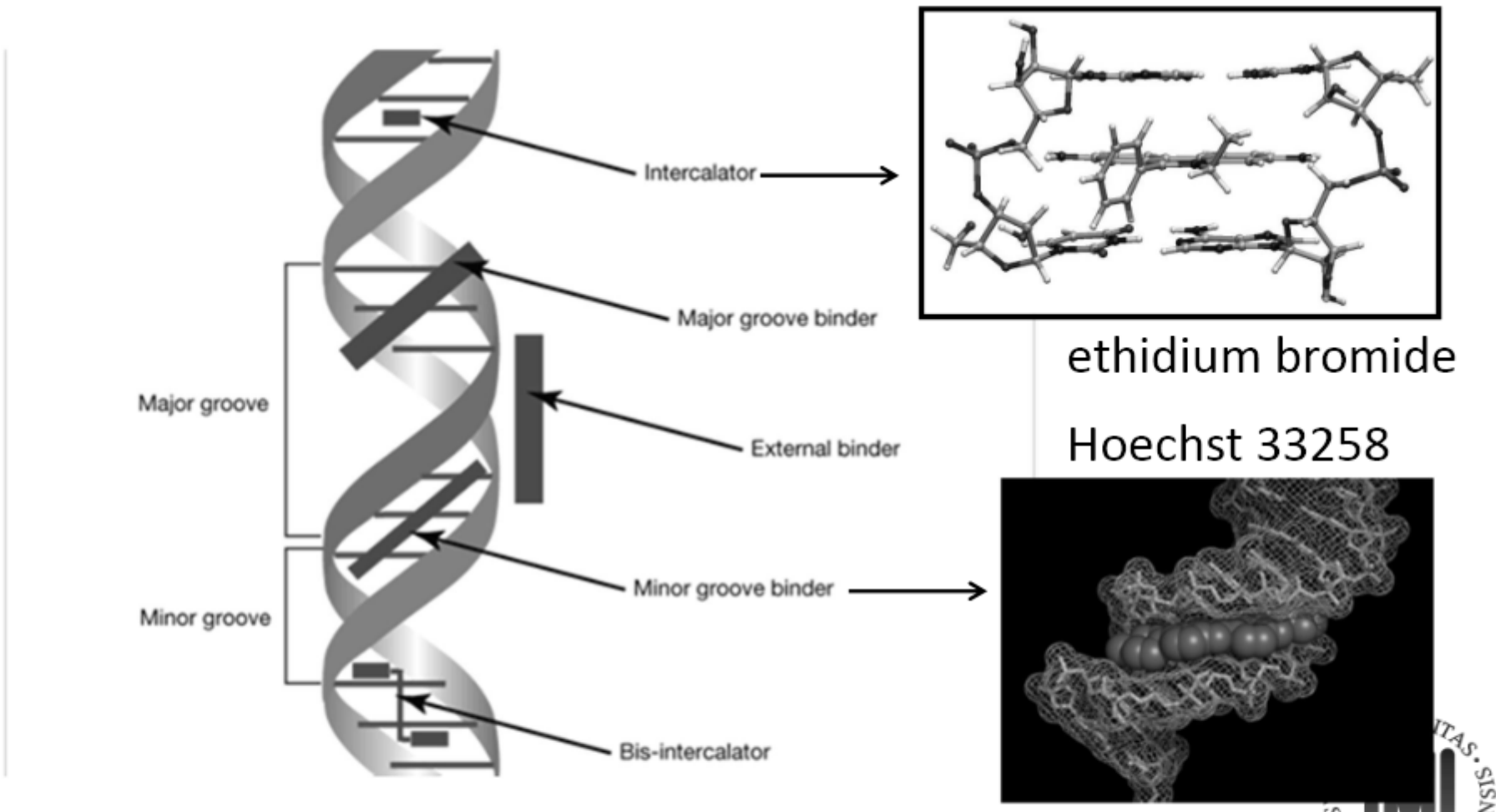
bis-pyren-PC

NBD-C<sub>6</sub>-HPC

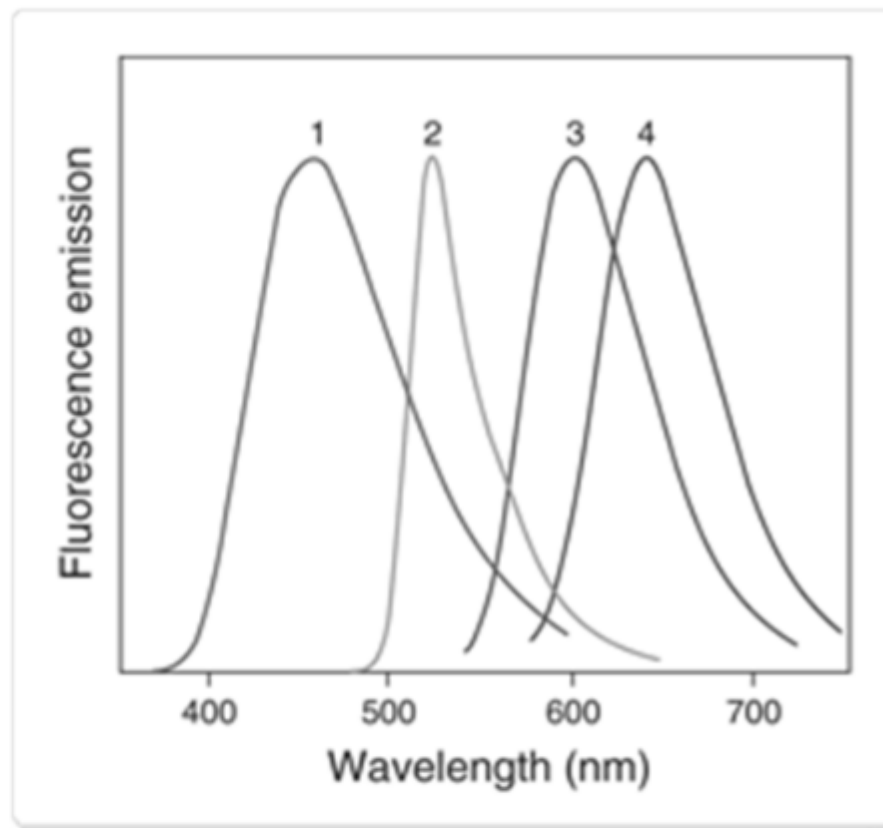
DPH

# Fluorescenční sondy pro nukleové kyseliny

- nukleotidy ani NK nemají schopnost fluorescence
- vazba sond na různá místa



- interkalační sondy - ethidium bromide, propidium iodide, 7-AAD (aminoactinomycin D)
- vazba do malého žlábku – DAPI, Hoechst dyes (33342, 33258)
- ostatní – akridinová oranž (DNA) akridinová oranž (RNA)

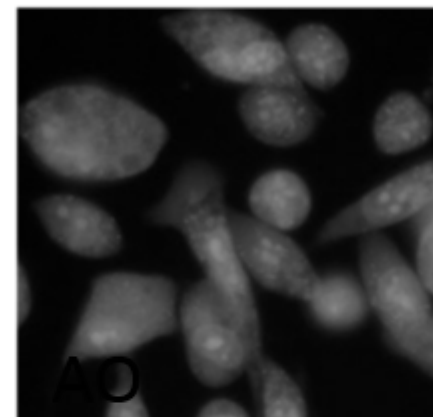
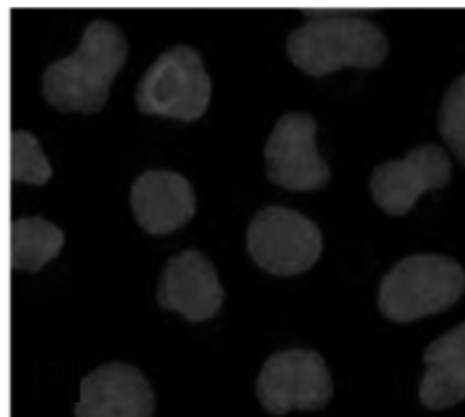
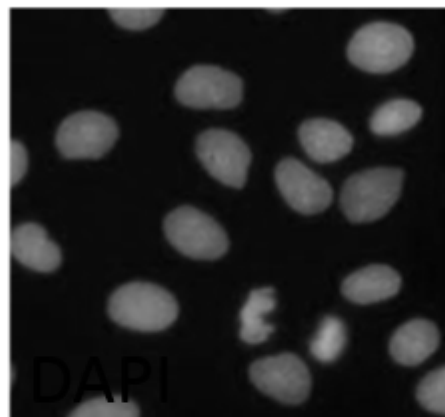


Normalizovaná fluorescenční  
emisní spektra DNA sond

- 1) Hoechst 33258 (~DAPI)
- 2) acridine orange
- 3) ethidium bromide
- 4) 7-aminoactinomycin D

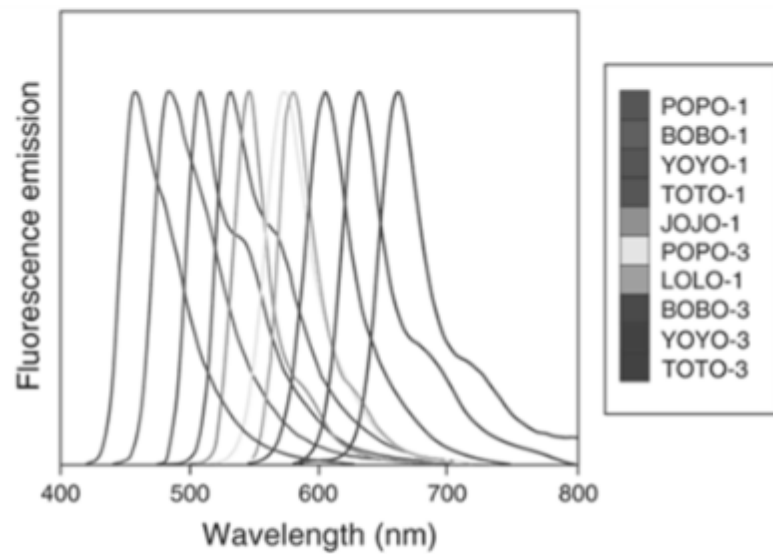
# Fluorescenční sondy pro nukleové kyseliny

fluorofor	$\lambda_{\text{ex}}^{\text{max}}$ (nm)	$\lambda_{\text{em}}^{\text{max}}$ (nm)	použití
Akridinová oranž (DNA)	500	526	
Akridinová oranž (RNA)	460	650	prostupuje; RNA/DNA; průtoková cytometrie
Ethidium bromid	518	605	neprostupuje; vmezřování do dsDNA; barvení mrtvých buněk; elektroforéza; průtoková cytometrie; ...
Propidium jodid	535	617	neprostupuje; barvení mrtvých buněk
DAPI	358	461	částečně prostupuje; buněčný cyklus; AT-selektivní; ...
Hoechst 33342	350	461	prostupuje; AT-selektivní; selektivní vazba k dsDNA; buněčný cyklus; ...

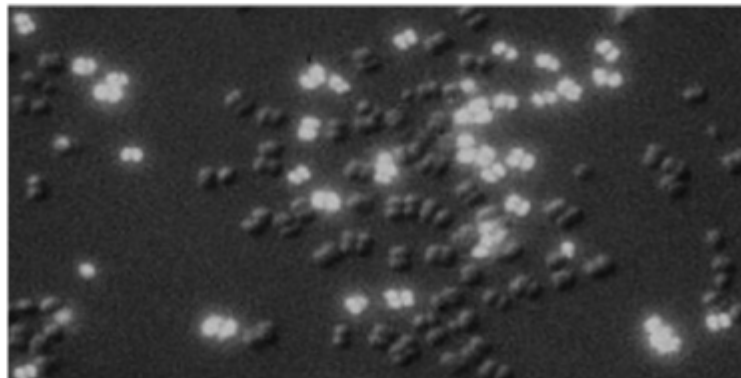


## cyaninové sondy (Molecular Probes)

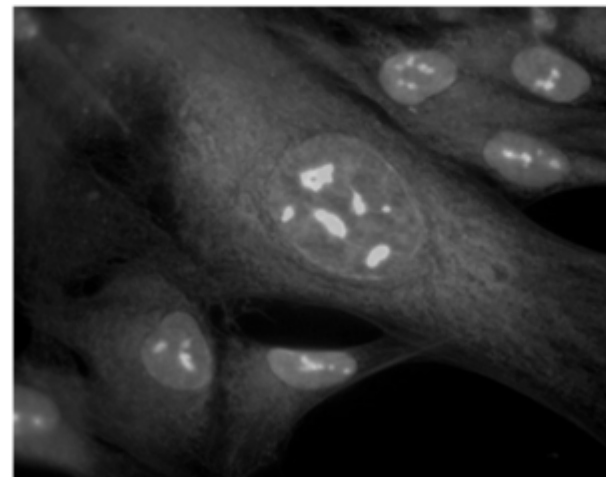
- nízká vnitřní fluorescence ( $QY=0,01$ ) bez vazby na NK
- po vazbě na NK 1000x zvýšená intenzita ( $QY=0,9$ )
- vysoká afinita pro NK
- minimální vazba na ostatní biopolymery
- široký rozsah emisních maxim
- dělení dle propustnosti pl. membrány
- neprostupující: TOTO family, TO-PRO family, SYTOX
- prostupující : SYTO (RNA i DNA specificita)



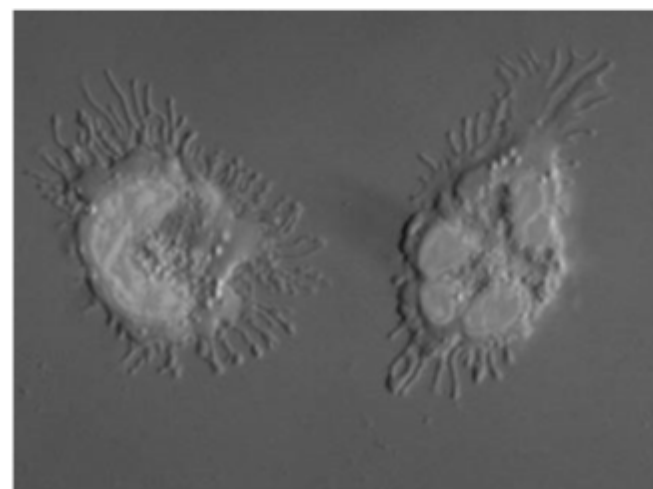
emisní spektra skupiny TOTO



směs živých a mrtvých bakterií,  
DNA, SYTOX® Blue



linie MRC-5, RNA  
SYTO® RNASelect™



lidský neutrofil, DNA,  
SYTO® 13

